

## تشخیص خرابی دیوار برشی فولادی با استفاده از الگوریتم موجک\*

امیر عباسی<sup>(۱)</sup> سید روح الله حسینی واعظ<sup>(۲)</sup> غلامرضا قدرتی امیری<sup>(۳)</sup>

**چکیده** یکی از روش های تشخیص خرابی، روش های دینامیکی مبتنی بر پایه سیگنال می باشد که می توان با استفاده از پردازش سیگنال اقدام به شناسایی خرابی در سازه ها نمود. در این مطالعه، به منظور تشخیص محل و میزان آسیب در دیوارهای برشی فولادی از الگوریتم موجک استفاده شده است؛ بدین صورت که شکل مودی حاصل از آنالیز مودال به عنوان سیگنال ورودی توسط تبدیل موجک تجزیه می گردد و در صورت وجود خرابی، می تواند محل و موقعیت دقیق آن تشخیص داده شود. در نتیجه با استفاده از این تبدیل، بدون نیاز به اطلاعات سازه سالم می توان سناریوهای خرابی احتمالی را که در سازه رخ می هد از طریق اغتشاشاتی که در سیگنال یا همان شکل مودی دیوار برشی فولادی ایجاد می گردند، شناسایی نمود.

**واژه های کلیدی** تشخیص خرابی، پردازش سیگنال، دیوار برشی فولادی، شکل مودی سازه، الگوریتم موجک.

## Damage Detection of Steel Plate Shear Walls by Wavelet Transform

A. Abbasi

S. R. Hoseini Vaez

Gh. Ghodrati Amiri

**Abstract** One of the methods for damage detection is dynamic methods based on the signal, which can be used to detect damage in the structures through signal processing. In this study, wavelet transform is used in order to determine the location and extent of the damage in steel plate shear walls so that the mode shape of modal analysis is decomposed as the input signal by wavelet transform and in the case of damage, it is possible to identify its accurate location. As a result, by using this transform without information of healthy structure, the possible damage scenarios that occur in the structure can be detected through disturbances which are created in the signal or the mode shapes of steel plate shear walls.

**Key Words** Damage Detection, Signal Processing, Steel Plate Shear Walls, Mode Shape of Structure, Wavelet Algorithm.

\* تاریخ دریافت مقاله ۹۴/۷/۲۰ و تاریخ پذیرش آن ۹۵/۹/۲۸ می باشد.

Email: hoseinivaez@gmail.com

(۱) دانشجوی کارشناسی ارشد، گروه مهندسی عمران، دانشکده فنی و مهندسی، دانشگاه قم.

(۲) نویسنده مسئول، استادیار، گروه مهندسی عمران، دانشکده فنی و مهندسی، دانشگاه قم.

(۳) استاد، دانشکده مهندسی عمران، دانشگاه علم و صنعت ایران.

### مقدمه

پایش سلامت سازه یک روش ارزیابی غیرمخرب است که وضعیت تمامی اجزای تشکیل دهنده سازه را در طول عمر آن بررسی می‌نماید و میزان سلامت کل سازه را تخمین می‌زند. آسیب با اثرات نامطلوبی که بر روی سازه می‌گذارد موجب اختلال در عملکرد کنونی و یا آینده سازه می‌گردد. بدیهی است که هزینه‌های تعمیر سازه‌های آسیب‌دیده و همین‌طور هزینه‌های نگهداری و بازرسی سازه‌های جدیدتر در حجم بالا بسیار هنگفت خواهد بود. هم‌چنین تشخیص به موقع آسیب و اقدام در جهت رفع عیوب آن، باعث افزایش عمر مفید سازه می‌شود. لذا پایش سلامت سازه‌ها از اهمیت به‌سزایی برخوردار است و از این‌رو، در دهه‌های اخیر تحقیقات فراوانی در این زمینه انجام گرفته‌است. آسیب‌های سازه‌ای از قبیل (ترک، خوردگی، کمانش، تورق و غیره) می‌توانند به طرق مختلفی ایجاد شوند که همگی منجر به کاهش سختی یا جرم سازه می‌شوند. بدین‌منظور، یکی از روش‌های شناسایی خرابی براساس تغییر در خصوصیات فیزیکی سازه مانند سختی می‌باشد که موجب تغییر در مشخصات دینامیکی سازه شامل فرکانس‌های طبیعی و شکل‌های مودی می‌گردد. در نتیجه با مقایسه پاسخ مودال سازه بین حالت سالم و آسیب‌دیده می‌توان حضور یا عدم حضور خرابی را شناسایی نمود. با این وجود، زمانی که رفتار سازه سالم در دسترس نیست بایستی این کار تنها با استفاده از پاسخ‌های سازه آسیب‌دیده انجام پذیرد.

در همین راستا یکی از روش‌های مورد استفاده، روش‌های دینامیکی مبتنی بر پایه سیگنال می‌باشد که می‌توان با استفاده از پردازش سیگنال اقدام به شناسایی خرابی در سازه‌ها نمود. در این روش، منظور از سیگنال همان پاسخ سازه آسیب‌دیده می‌باشد که به‌عنوان یک سیگنال ورودی، پردازش می‌گردد و موقعیت دقیق خرابی به‌وجودآمده را نشان می‌دهد. در این زمینه یکی از روش‌های پر کاربرد که طی دهه اخیر نیز بسیار مورد

توجه قرار گرفته‌است، تبدیل موجک می‌باشد که در ادامه به شرح برخی از کارهای انجام‌گرفته در این زمینه اشاره می‌گردد.

در مورد تشخیص خرابی در صفحات، بی‌سا و همکاران [1] با استفاده از تبدیل موجک دوبعدی روشی را ارائه دادند. آنها این روش را بر روی صفحاتی که به‌صورت المان محدود در نرم‌افزار مدل شده‌بود، به‌کار بردند و موفق شدند تا حدودی موقعیت آسیب را در سازه تشخیص دهند.

اثر مرتبه مودها بر میزان قابلیت تشخیص آسیب سازه‌ها، توسط روکا [2] مورد بررسی قرار گرفته‌است. او با استفاده از تبدیل موجک پیوسته و پس از بررسی هشت مود اول یک تیر طره نشان داد که هرچه مرتبه شکل مودی بالاتر باشد، جواب‌های قابل اطمینان‌تری به‌دست می‌آید.

سولیس و همکاران [3] با استفاده از تبدیل موجک روشی را برای تشخیص خرابی ارائه نمودند که علاوه بر این‌که موقعیت آسیب را از روی تغییر در شکل‌های مودی بین سازه سالم و آسیب‌دیده تشخیص می‌داد، توانستند روشی مناسب برای فائق آمدن بر مشکلاتی که در شناسایی آسیب‌های ابتدا و انتهای طول سازه به‌وجود می‌آمد ارائه دهند.

قدرتی و همکاران [4]، روشی برای تشخیص خرابی با استفاده از تبدیل موجک گسسته هنگامی که ترک‌هایی متعدد در یک تیر رخ دهند را پیشنهاد نمودند. علاوه بر این، اصول انتخاب یک تابع موجک مناسب و هم‌چنین حضور نویزهای تصادفی در سیگنال‌های ورودی را مورد ارزیابی قرار دادند.

تشخیص خرابی یک ساختمان شش طبقه بتنی با استفاده از تبدیل موجک توسط پاتل و همکاران [5] مورد بررسی قرار گرفت. بدین‌منظور برای جرم‌های مختلف، سیگنال‌های ارتعاش در تراز هر طبقه از ساختمان ثبت گردید. نتایج آنها نشان می‌دهد که ضرایب موجک ارتباط مستقیمی با تغییر در خصوصیات

ثابت باشد و از این رو، برای سیگنال‌های غیرایستا مانند پاسخ‌های به‌دست‌آمده از یک سازه (که محتوای فرکانسی با زمان تغییر می‌کند) نمی‌تواند تقریب مناسبی را ارائه دهد. ضعف دیگری که در تبدیلات فوریه مشاهده می‌شود، این نکته است که تنها پارامتر مورد بررسی، فرکانس سیگنال می‌باشد و هیچ اطلاعاتی از موقعیت سیگنال مورد بررسی ارائه نمی‌دهد.

البته این ضعف در تبدیل فوریه زمان کوتاه تاحدی برطرف گردید، بدین صورت که از یک تابع پنجره متحرک استفاده می‌شود که در زمان  $\tau$  قرار می‌گیرد و برای هر زمان  $\tau$  خاص، یک تبدیل فوریه زمان کوتاه محاسبه می‌گردد. به‌طور متناوب، پنجره در راستای زمان انتقال پیدا می‌کند و تبدیل فوریه اعمال می‌شود تا بدین طریق تبدیل فوریه کل سیگنال محاسبه گردد. البته انتخاب اندازه پنجره‌ها بایستی به‌نحوی باشد که فرض ایستا بودن برای تمام بخش‌های جداشده برقرار باشد. یک تبدیل فوریه زمان کوتاه به‌صورت رابطه زیر ارائه می‌گردد [7]:

$$\text{STFT}_x^w(\tau, f) = \int_{-\infty}^{+\infty} x(t) w(t-\tau) e^{-j2\pi ft} dt \quad (2)$$

با این حال، با این تبدیل نیز نمی‌توان توصیف دقیقی از یک سیگنال را در اختیار داشت؛ زیرا اطلاعاتی که از یک سیگنال ارائه می‌دهد تنها مربوط به بازه‌های تابع پنجره است و نمی‌توان به‌طور دقیق اطلاع پیدا کرد که چه مؤلفه‌های فرکانسی در چه زمان‌هایی وجود دارند. از این رو، برای فائق آمدن بر این مشکلات و به‌دست آوردن جزئیات مناسب‌تر از پردازش یک سیگنال، روش تبدیل موجک جایگزین گردید. پردازش سیگنال‌های پیچیده، نیازمند استفاده از تابعی است که نسبت به زمان، تغییرات نامنظمی داشته باشد تا بتواند تقریب مناسب‌تری از یک سیگنال را ارائه دهد. تبدیل موجک، یکی از روش‌های تبدیل زمانی فرکانسی است که سیگنال مورد نظر را برحسب مجموعه‌ای از توابع موجک مقیاس و منتقل شده بیان می‌کند.

یک تابع موجک  $\psi(t)$  به‌صورت زیر بیان می‌شود

فیزیکی سازه از جمله جرم دارند.

تشخیص خرابی یک سازه با استفاده از تبدیل موجک را می‌توان با قرار دادن سنسور در ترازهای معین از یک سازه بررسی نمود. با این عمل می‌توان آسیب به‌وجودآمده در هر قسمت از سازه را شناسایی نمود. بدین صورت که هر سنسور، پاسخ‌های به‌دست‌آمده از سازه را به‌عنوان سیگنال ورودی برای پردازش سیگنال، به تبدیل موجک وارد می‌نماید. سپس این تبدیل با تجزیه سیگنال ورودی، می‌تواند در صورت وجود خرابی، محل دقیق آن را نشان دهد.

در این مطالعه سعی شده است تشخیص خرابی دیوار برشی فولادی با استفاده از الگوریتم موجک و ثبت پاسخ در ترازهای مختلف دیوار، مورد بررسی قرار گیرد. بدین منظور با قرار دادن سنسور در نقاط مشخصی از دیوار، پاسخ‌های مودال سازه ثبت می‌گردند و الگوریتم موجک پس از تجزیه سیگنال ورودی، خرابی‌های احتمالی را نشان خواهد داد.

### تعریف تبدیل موجک

تبدیل سیگنال یک ابزار ریاضی رایج است که به‌طور گسترده در پردازش سیگنال استفاده می‌شود. هدف از اعمال یک تابع ریاضی بر یک سیگنال، به‌دست آوردن اطلاعات اضافه‌ای است که در سیگنال خام اولیه قابل دسترس نمی‌باشند. یکی از رایج‌ترین روش‌ها در زمینه پردازش سیگنال، تبدیل فوریه می‌باشد. ضرایب به‌دست آمده از این تبدیل، شباهت بین سیگنال مورد نظر و توابع سینوسی به‌کار رفته در تبدیل فوریه را ارائه می‌دهند. ضرایب فوریه برای تابع سیگنال  $f(t)$  به‌صورت زیر ارائه می‌شود [6]:

$$f(\omega) = \int_{-\infty}^{+\infty} f(t) e^{-i\omega t} dt \quad (1)$$

که در آن  $t$  و  $\omega$  متغیر زمانی و فرکانسی می‌باشد.

با این حال، روش تبدیل فوریه به‌دلیل استفاده از یک سری توابع سینوس و کسینوس، تنها زمانی به‌کار می‌آید که خواص آماری یک سیگنال در طول زمان

ناپیوستگی‌هایی که در یک سیگنال رخ می‌دهند به دلیل محتوای فرکانسی بالایی که دارند، تنها هنگامی که تابع موجک فرکانس بالاتری (پارامتر مقیاس پایین‌تر) دارد قابل مشاهده می‌باشند. به عبارت دیگر، در این حالت تابع موجک حساسیت بیشتری به جزئیات سیگنال یا همان ناپیوستگی‌ها نشان می‌دهد.

یکی از تبدیلات موجک پرکاربرد در زمینه مشاهده ناپیوستگی و اغتشاشات کوچک در یک سیگنال، تبدیل موجک گسسته می‌باشد. روند پردازش سیگنال با تبدیل موجک گسسته، تجزیه یک سیگنال در چند مرحله می‌باشد که توسط دو فیلتر انجام می‌گیرد. بدین طریق که در ابتدا سیگنال، از یک فیلتر پایین‌گذر عبور می‌کند و تمام مؤلفه‌های فرکانسی که بیشتر از نصف بزرگ‌ترین فرکانس موجود در سیگنال باشند، حذف می‌شوند؛ بدین ترتیب مؤلفه‌های باقی‌مانده به دلیل ماهیت فرکانسی پایین، شکل تقریبی از سیگنال را ارائه می‌دهند. این عمل برای یک فیلتر بالاگذر نیز انجام می‌گیرد و در نتیجه این فیلتر مؤلفه‌های فرکانس بالای باقی‌مانده، جزئیات موجود در یک سیگنال از قبیل ناپیوستگی‌ها و اغتشاشات را ارائه می‌دهند.

در این تبدیل روند تغییر نرخ نمونه‌ها بر روی یک شبکه دوتایی انجام می‌گیرد، بدین منظور ضرایب پیوسته  $s$  و  $\tau$  به صورت زیر گسسته می‌گردند:

$$s = 2^j, \quad \tau = k2^j \quad (6)$$

که در این حالت  $j$  و  $k$  متناسب با هر گام تجزیه افزایش می‌یابند.

توابع موجک بایستی به نحوی انتخاب شوند تا علاوه بر شباهت فرکانسی با سیگنال، دارای محتوای فرکانسی بالایی نیز باشند تا بتوانند ناپیوستگی‌های بسیار کوچک موجود در سیگنال را به خوبی شناسایی نمایند. در این پژوهش سه تابع موجک برای بررسی این موضوع در نظر گرفته شده است تا تفاوت شکل تابع موجک در پردازش سیگنال بررسی گردد. این سه تابع در شکل (۱) نمایش داده شده است.

[7]

$$\psi_{s,\tau}(t) = \frac{1}{\sqrt{|s|}} \psi\left(\frac{t-\tau}{s}\right) \quad (3)$$

در رابطه فوق  $s$  و  $\tau$  به ترتیب پارامتر مقیاس و انتقال می‌باشند.

با استفاده از پارامتر مقیاس می‌توان بازه تابع موجک را منقبض یا منبسط نمود. بدین طریق، در مقیاس‌های بالا که تابع موجک منبسط می‌شود، مؤلفه‌های فرکانس پایین سیگنال و در مقیاس‌های پایین که تابع موجک منقبض می‌گردد، مؤلفه‌های فرکانس بالای سیگنال بررسی می‌گردند. پارامتر انتقال نیز به منظور قرارگیری تابع موجک در محل موردنظر از سیگنال مورد بررسی به منظور محاسبه یک تبدیل موجک به کار می‌رود.

باتوجه به حوزه عملکرد محدود یک تابع موجک، دو کران بالا و پایین برای آن در نظر گرفته شده است که خارج از این بازه مقدار تابع موجک صفر می‌باشد:

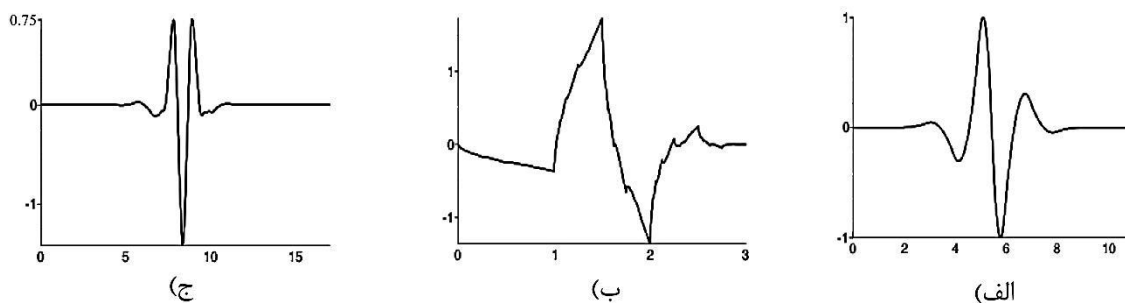
$$\forall t \leq LB: \psi(t) = 0, \quad \forall t \geq UB: \psi(t) = 0 \quad (4)$$

در رابطه (۴)  $LB$  و  $UB$  کران‌های پایین و بالا می‌باشند.

در تبدیل موجک همانند تبدیل فوری، ضرایب آن بیانگر میزان شباهت می‌باشند با این تفاوت که در تبدیل فوری، تابع سیگنال موردنظر در یک تابع سینوسی ضرب می‌شود و شباهت میان این دو تابع بررسی می‌گردد ولی در آنالیز موجک، برای تقریب دقیق‌تر از توابع موجک استفاده می‌شود و این توابع به طور جداگانه بر روی قطعه‌های مختلف سیگنال ضرب می‌شوند. ضرایب موجک به صورت رابطه (۵) محاسبه می‌گردد.

$$C_{s,\tau} = \int_{-\infty}^{+\infty} f(t) \psi_{s,\tau}(t) dt \quad (5)$$

در رابطه (۵) هر قدر شباهت فرکانسی سیگنال با تابع موجک بیشتر باشد، مقدار ضریب موجک نیز بزرگ‌تر حاصل خواهد شد.



شکل ۱ سه تابع موجک به کار رفته در تحقیق حاضر (الف) rbio3.5 ، (ب) db2 ، (ج) 3 coif [7]

جدول ۱ مشخصات مدل دیوار برشی فولادی [8]

نمونه	ابعاد ورق $I \times h \times t$ (mm)*	ابعاد تیرها	ابعاد ستون‌ها	مشخصات نوع فولادها	
				المان‌های مرزی	ورق
SPSW2	$3000 \times 3000 \times 9/3$	$W14 \times 120$	$W14 \times 311$	ASTM A572 Gr.50	LYP100

\*  $h$  و  $t$  به ترتیب طول، ارتفاع و ضخامت ورق می‌باشند

### مدل اجزای محدود

مدل‌سازی نمونه با استفاده از نرم‌افزار ABAQUS6.14 انجام گرفته‌است. به منظور مدل‌سازی المان‌های مرزی و ورق جان، از المان‌های S4R که جزء المان‌های shell محسوب می‌شوند استفاده شده‌است. المان مذکور دارای سختی دورانی است و از این رو امکان تغییر شکل خارج از صفحه را فراهم می‌آورد [9].

برای مدل‌سازی شرایط تکیه‌گاهی، حرکت پای ستون‌ها در تمامی درجات آزادی مقید شده‌است. هم‌چنین اتصالات تیر به ستون نیز به صورت اتصال صلب در نظر گرفته شده‌است. المان‌های سخت‌کننده در چهار گوشه دیوار برشی فولادی قرار گرفته‌اند. مدل اجزای محدود مذکور در نرم‌افزار ABAQUS در شکل (۳) نشان داده شده‌است.

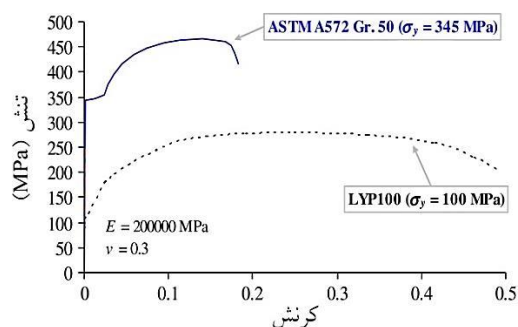
به منظور صحت‌سنجی نمونه مورد نظر، منحنی‌های بار جانبی - تغییر مکان نسبی بررسی شده‌است. در شکل (۴) این منحنی برای دو نمونه تحقیق حاضر و مدل مرجع ارائه شده‌است.

### مدل‌سازی دیوار برشی فولادی

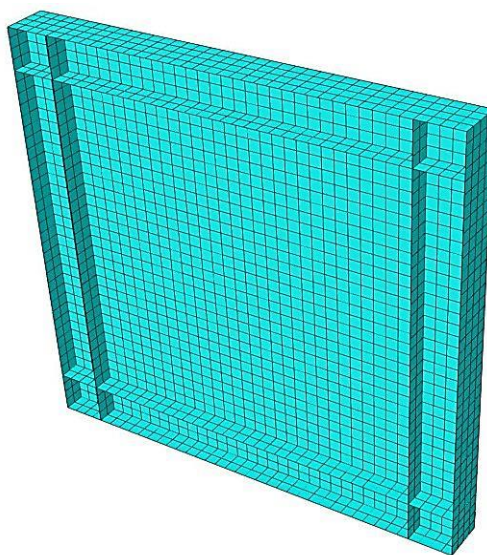
#### مشخصات نمونه

ابعاد نمونه دیوار برشی فولادی یک‌طبقه و یک‌دهانه به کار رفته در این پژوهش در جدول (۱) ارائه شده‌است. نمونه مورد نظر به منظور صحت عملکرد روش ارائه شده بر اساس مرجع [8] در نظر گرفته شده‌است.

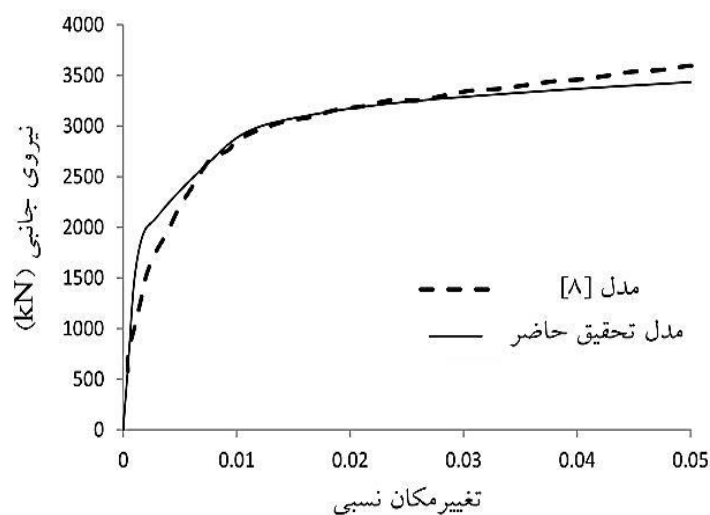
معیار تسلیم فون میسز برای جاری‌شدگی و معیارهای سخت‌شدگی ایزوتروپیک و جنبشی در تحلیل‌های غیرخطی مربوطه به کار رفته‌اند. رابطه تنش - کرنش و خصوصیات مکانیکی مصالح فولادی به کار رفته در این مدل‌سازی در شکل (۲) ارائه شده‌است.



شکل ۲ مدل رفتاری نمونه دیوار برشی فولادی [8]



شکل ۳ مدل اجزای محدود تحقیق حاضر



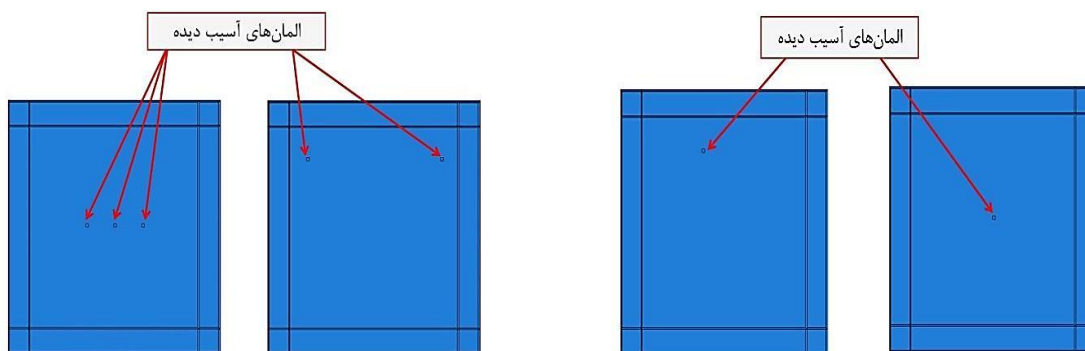
شکل ۴ منحنی بار جانبی - تغییر مکان نسبی [۸]

(۲) ارائه گردیده است و در شکل‌های (۵) و (۶) موقعیت آنها بر روی دیوار برشی فولادی نشان داده شده است. در این پژوهش، آسیب در قسمت‌های مختلف ورق و به وسیله کاهش در مدول الاستیسیته مصالح تعریف شده است تا دقت الگوریتم موجک در زمینه شناسایی خرابی بررسی گردد.

همان‌طور که در شکل فوق مشخص است، مطابقت مناسبی بین نتایج دو مدل برقرار می‌باشد.

### سناریوهای خرابی تعریف شده در سازه

به منظور تعریف خرابی در سازه، هشت سناریوی خرابی بر روی ورق دیوار برشی فولادی جدول (۱) در نظر گرفته شده است. سناریوهای خرابی ایجاد شده در جدول



الف) سناریوهای ۵ و ۶ (ب) سناریوهای ۷ و ۸  
شکل ۶ سناریوهای خرابی ۵ تا ۸

الف) سناریوهای ۱ و ۲ (ب) سناریوهای ۳ و ۴  
شکل ۵ سناریوهای خرابی ۱ تا ۴

جدول ۲ سناریوهای خرابی تعریف شده در مدل دیوار برشی فولادی (مبدأ: گوشه پایین ورق سمت چپ)

موقعیت آسیب	شدت آسیب	سناریوی خرابی
$X = 1/5 \text{ m}, Y = 1/5 \text{ m}$	یک المان $5 \times 5$ سانتی متر با کاهش مدول الاستیسیته ۲۰ درصد	۱
$X = 1/5 \text{ m}, Y = 1/5 \text{ m}$	یک المان $5 \times 5$ سانتی متر با کاهش مدول الاستیسیته ۱۰ درصد	۲
$X = 1/1 \text{ m}, Y = 2/5 \text{ m}$	یک المان $5 \times 5$ سانتی متر با کاهش مدول الاستیسیته ۲۰ درصد	۳
$X = 1/1 \text{ m}, Y = 2/5 \text{ m}$	یک المان $5 \times 5$ سانتی متر با کاهش مدول الاستیسیته ۱۰ درصد	۴
$X_1 = 0/3 \text{ m}, X_2 = 2/7 \text{ m}$ $Y = 2/5 \text{ m}$	دو المان $5 \times 5$ سانتی متر با کاهش مدول الاستیسیته ۲۰ درصد	۵
$X_1 = 0/3 \text{ m}, X_2 = 2/7 \text{ m}$ $Y = 2/5 \text{ m}$	دو المان $5 \times 5$ سانتی متر با کاهش مدول الاستیسیته ۱۰ درصد	۶
$X_1 = 1 \text{ m}, X_2 = 1/5 \text{ m}, X_3 = 2 \text{ m}$ $Y = 1/5 \text{ m}$	سه المان $5 \times 5$ سانتی متر با کاهش مدول الاستیسیته ۲۰ درصد	۷
$X_1 = 1 \text{ m}, X_2 = 1/5 \text{ m}, X_3 = 2 \text{ m}$ $Y = 1/5 \text{ m}$	سه المان $5 \times 5$ سانتی متر با کاهش مدول الاستیسیته ۱۰ درصد	۸

سیگنال بر روی دیوار انجام می‌گیرد. سپس این تبدیل در صورت مشاهده آسیب در طول سازه، موقعیت دقیق آن را نشان می‌دهد. با توجه به این‌که در طراحی دیوار برشی فولادی سخت نشده، ورق وارد مرحله غیرخطی می‌شود به منظور استفاده از شکل‌های مودی برای تشخیص خرابی، فرض می‌شود آسیب در ناحیه خطی

### پاسخ مودال نمونه

همان‌طور که اشاره شد، پردازش سیگنال بر روی پاسخ‌های به دست آمده از سازه انجام می‌گیرد. در این مطالعه، پاسخ‌های مودال دیوار برشی فولادی در هر تراز به عنوان سیگنال ورودی توسط سنسورهای تعریف شده ثبت می‌گردند و با استفاده از تبدیل موجک، پردازش

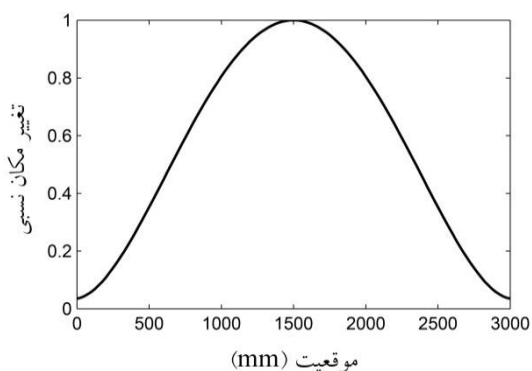
### تشخیص خرابی دیوار برشی فولادی

خرابی و آسیب بر روی یک سازه باعث کاهش سختی سازه موردنظر می‌گردد. باتوجه به این‌که سختی یک سازه رابطه مستقیم با فرکانس طبیعی آن دارد، کاهش آن باعث کاهش فرکانس‌های طبیعی در یک آنالیز مودال خواهد شد. لذا با مقایسه فرکانس‌های طبیعی دو سازه سالم و آسیب‌دیده، می‌توان تأثیر خرابی را بر روی کاهش سختی یک سازه مشاهده نمود. این موضوع در جدول (۳) برای دو شکل مودی اول سازه در سناریوی خرابی اول بررسی شده است.

جدول ۳ مقایسه فرکانس‌های طبیعی دو نمونه دیوار برشی فولادی سالم و آسیب‌دیده (سناریوی خرابی اول)

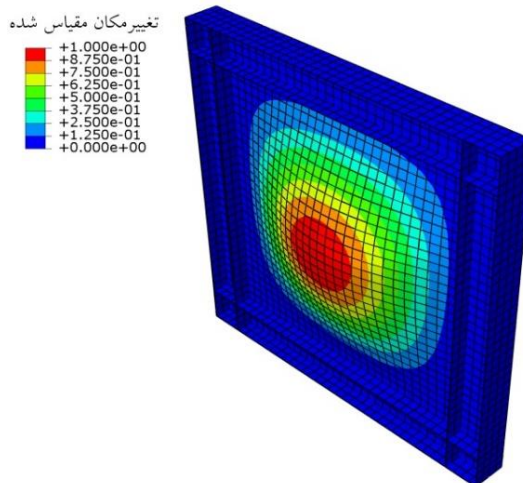
فرکانس طبیعی سازه	فرکانس طبیعی سازه سالم (هرتز)	فرکانس طبیعی سازه آسیب‌دیده (هرتز)	مود
۸/۴۵۷۱	۸/۴۶۰۲	۱۱/۴۹۰	مود اول
۱۱/۴۹۰	۱۱/۵۳۸		مود دوم

در این مطالعه برای سیگنال ورودی الگوریتم موجک از شکل مودی اول و دوم سازه استفاده شده است. سیگنال‌های مذکور برای هشت سناریوی خرابی تعریف شده در شکل‌های (۹) تا (۱۲) ارائه شده است. باتوجه به این‌که سناریوهای خرابی ۱، ۲، ۷ و ۸ در یک تراز و هم‌چنین سناریوهای خرابی ۳ تا ۶ در تراز یکسان دیگری قرار دارند، تغییر مکان شکل‌های مودی آنها مانند هم می‌باشد.

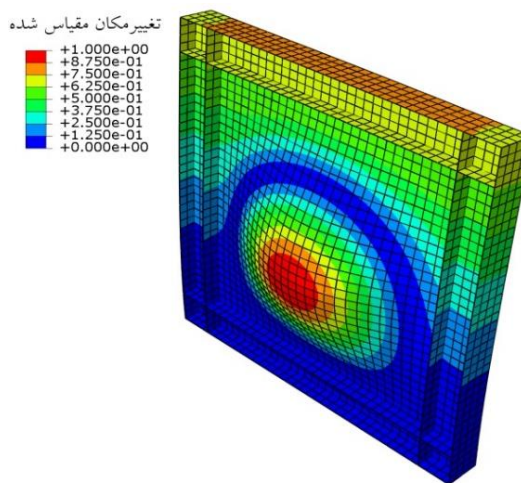


شکل ۹ شکل مودی اول سناریوهای ۱، ۲، ۷ و ۸

از سازه رخ داده است. اشکال مودی اول و دوم نمونه، در شکل‌های (۷) و (۸) نشان داده شده است. لازم به ذکر است در این پژوهش چگالی فولاد  $7850 \text{ kg/m}^3$  لحاظ شده است.



شکل ۷ شکل مودی اول دیوار برشی فولادی

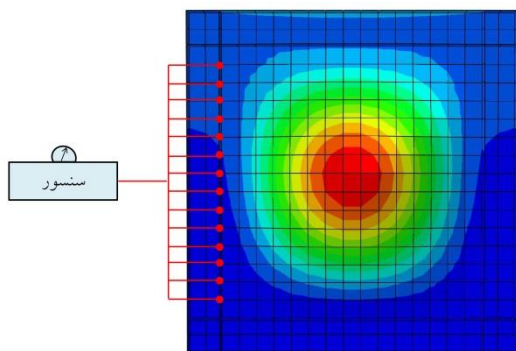


شکل ۸ شکل مودی دوم دیوار برشی فولادی

باتوجه به سختی کم دیوار برشی فولادی در راستای خارج از صفحه، مودهای کمانشی غالب، مودهای خارج از صفحه می‌باشند. هم‌چنین مطابق با عمل همپایه کردن مودها، در وسط ورق که حداکثر تغییر مکان را دارا می‌باشد، تغییر مکان مقیاس شده وسط ورق برابر واحد و سایر عناصر متناظر با آن تعیین شده است [10].

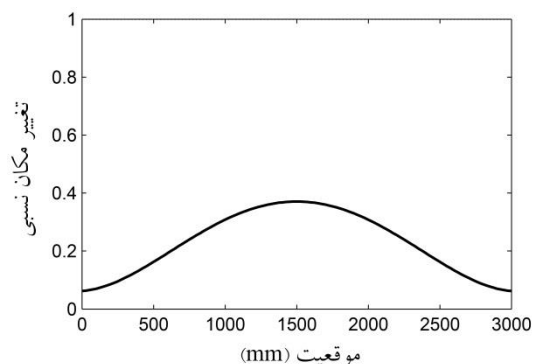


تراز از سازه شبکه‌بندی شده را به الگوریتم موجک وارد می‌نمایند، سپس در صورت وجود خرابی، محل و موقعیت دقیق آسیب را نشان می‌دهد. با این حال، در کارهای عملی بایستی تعداد نقاط نمونه‌برداری هر سنسور به گونه‌ای باشد که علاوه بر اقتصادی بودن طرح، تعیین محل دقیق آسیب نیز به راحتی امکان پذیر باشد. با توجه به این که سناریوهای خرابی در ورق تعریف شده است، سنسورها در ابتدای هر تراز از ورق شبکه‌بندی شده تعبیه شده‌اند تا بتوان برای هر ردیف به صورت جداگانه پردازش سیگنال را انجام داد. موقعیت قرارگیری سنسورها، در ورق نمونه شبکه‌بندی شده در شکل (۱۳) نشان داده شده است. موقعیت قرارگیری سنسورها، بدین صورت است که برای کل طول دیوار در هر نقطه نمونه‌برداری تعبیه شده است تا بتواند سیگنال‌های حاصل از شکل مودی را برای کل دیوار ثبت نماید. به عبارتی شکل‌های مودی به دست آمده، همان سیگنال‌هایی است که توسط سنسورها ثبت می‌شوند.

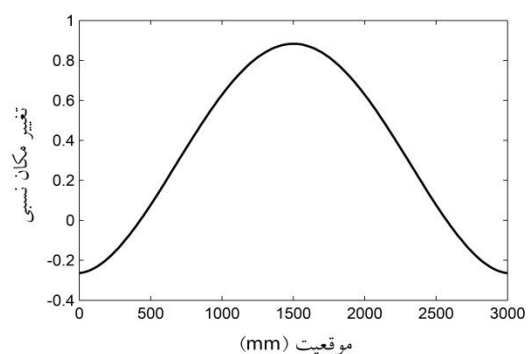


شکل ۱۳ موقعیت قرارگیری سنسورها در ورق

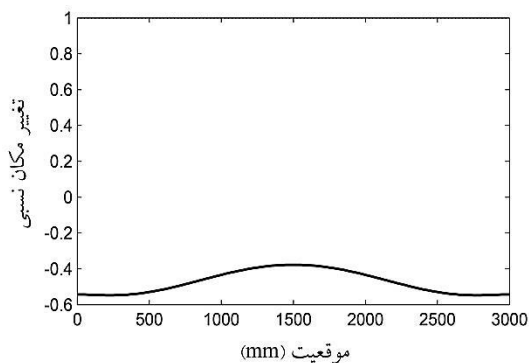
از آنجایی که خرابی‌های تعریف شده مقادیر کوچکی می‌باشند، در پاسخ‌های سازه به صورت یک اغتشاش بسیار کوچک ظاهر می‌گردند. با توجه به این که ضرایب جزئیات الگوریتم موجک گسسته در نرم افزار MATLAB، مؤلفه‌های فرکانس بالا را تجزیه می‌نماید بایستی شناسایی خرابی را در این فیلتر بررسی



شکل ۱۰ شکل مودی اول سناریوهای ۳ تا ۶

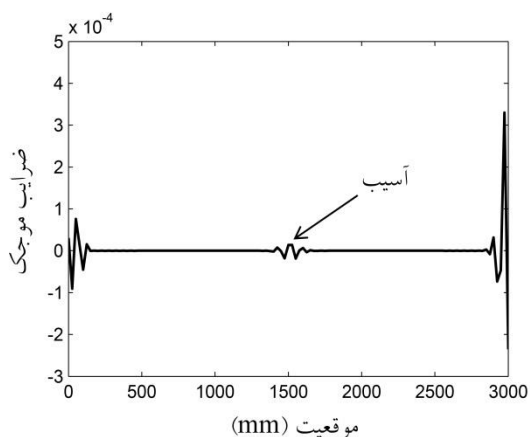


شکل ۱۱ شکل مودی دوم سناریوهای ۱، ۲، ۷ و ۸

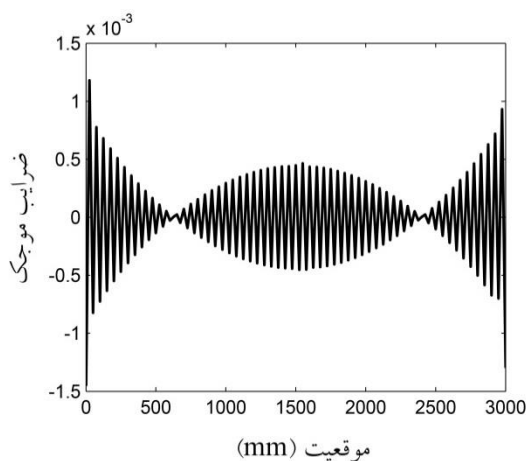


شکل ۱۲ شکل مودی دوم سناریوهای ۳ تا ۶

همان طور که در شکل‌های ارائه شده مشخص است، هیچ گونه اثری از آسیب در پاسخ‌ها مشاهده نمی‌شود. با این وجود، الگوریتم موجک قادر به شناسایی محل دقیق آسیب‌های به وجود آمده می‌باشد. این عمل را با نصب سنسور در نقاط مشخصی از سازه انجام می‌دهیم بدین طریق که هر سنسور پاسخ هر

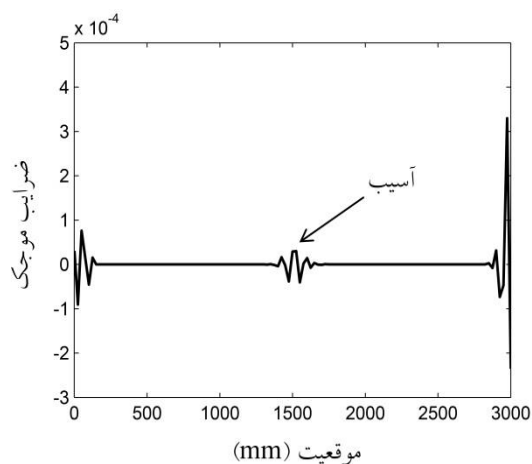


شکل ۱۶ تعیین محل آسیب تراز سناریوی خرابی دوم با تابع موجک rbio3.5

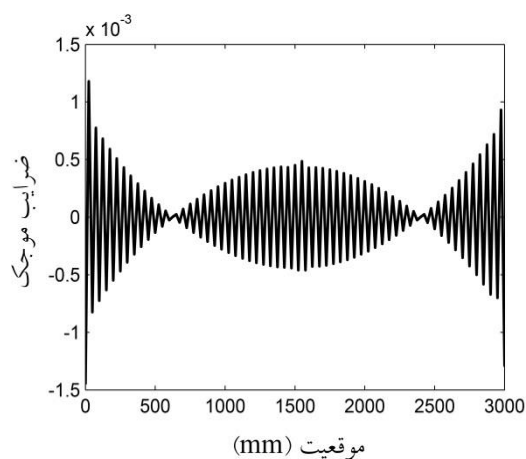


شکل ۱۷ تعیین محل آسیب تراز سناریوی خرابی دوم با تابع موجک db2

نمود. بدین منظور، در این بخش با استفاده از الگوریتم موجک گسسته، تشخیص سناریوهای خرابی تعریف شده در دیوار برشی فولادی مورد بررسی قرار می‌گیرد. این موضوع با استفاده از توابع موجک تعریف شده در بخش دوم بررسی می‌شود. نتایج شناسایی آسیب سناریوهای خرابی اول و دوم برای شکل مودی اول سازه در شکل‌های (۱۴) تا (۱۷) ارائه شده است. برای بررسی تفاوت توابع موجک در پردازش سیگنال، این عمل با استفاده از دو تابع موجک rbio3.5 و db2 انجام شده است.



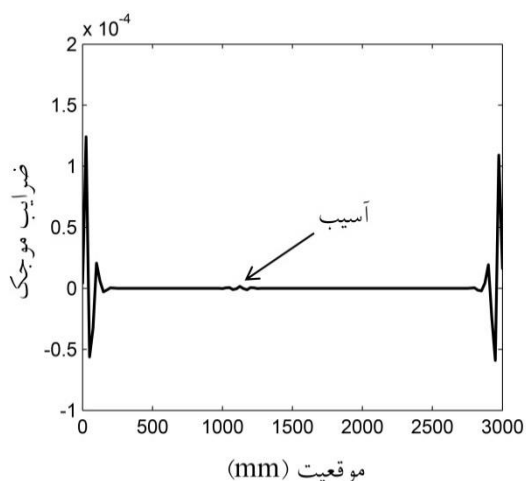
شکل ۱۴ تعیین محل آسیب تراز سناریوی خرابی اول با تابع موجک rbio3.5



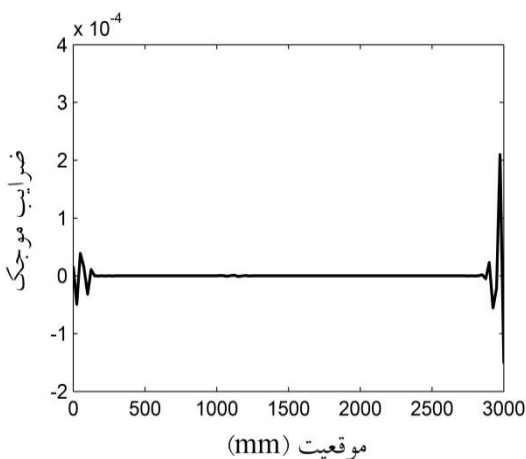
شکل ۱۵ تعیین محل آسیب تراز سناریوی خرابی اول با تابع موجک db2

همان‌طور که انتظار می‌رفت به دلیل شباهت بیشتر تابع موجک rbio3.5 با تابع سیگنال، تنها این تابع قادر به شناسایی موقعیت دقیق آسیب بود. شناسایی موقعیت دقیق آسیب حتی برای کاهش آسیب به میزان ۱۰ درصد، نشان‌دهنده کارایی بسیار مناسب الگوریتم موجک در زمینه تشخیص خرابی می‌باشد. هم‌چنین با کاهش میزان آسیب برای سناریوی خرابی دوم نسبت به سناریوی خرابی اول، میزان اغتشاش به وجود آمده در سیگنال خروجی کمتر شده است.

با این‌که تابع موجک rbio3.5 موقعیت دقیق آسیب را شناسایی نمود با این حال نمی‌توان به‌طور دقیق بیان نمود که این تابع موجک با توجه به شباهت بیشتر با تابع



شکل ۲۰ تعیین محل آسیب تراز سناریوی خرابی چهارم با تابع موجک 3 coif

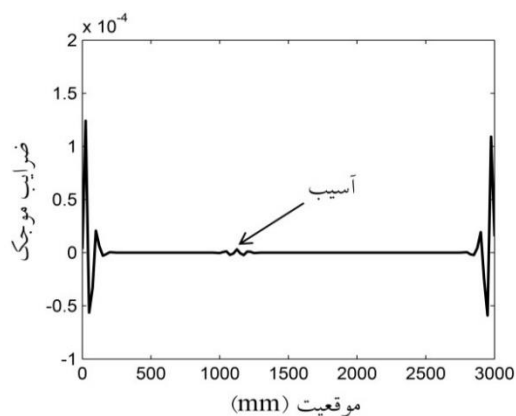


شکل ۲۱ تعیین محل آسیب تراز سناریوی خرابی چهارم با تابع موجک 3.5 rbio

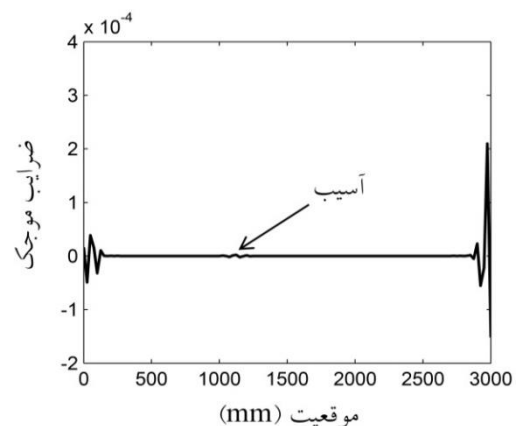
شکل‌های بالا نشان می‌دهد تابع موجک 3 coif به دلیل محتوای فرکانس بالاتر در مقایسه با تابع موجک 3.5 rbio، توانست موقعیت آسیب سناریوی خرابی چهارم را که آسیب کم‌تری در مقایسه با سناریوی خرابی سوم متحمل شده بود بهتر شناسایی نماید. نتایج برای سایر سناریوهای خرابی نیز به همین ترتیب می‌باشد. تشخیص آسیب سناریوهای خرابی باقی‌مانده نیز با استفاده از دو تابع موجک 3 coif و 3.5 rbio در شکل‌های (۲۲) تا (۲۵) ارائه شده‌است.

سیگنال، توانایی شناسایی آسیب برای تمام موقعیت‌های خرابی دیوار را دارا می‌باشد. همان‌طور که اشاره شد یکی دیگر از موارد مهم در به‌کارگیری تابع موجک برای پردازش سیگنال، محتوای فرکانسی بالای تابع موجک می‌باشد. این موضوع به‌خصوص زمانی که اغتشاش به‌وجود آمده در تابع سیگنال کوچک‌تر باشد، بیشتر اهمیت پیدا می‌نماید. زیرا در چنین حالتی ممکن است، توابع موجکی که محتوای فرکانسی پایین‌تری دارند نتوانند مؤلفه فرکانس بالای آسیب به‌وجود آمده را شناسایی نمایند.

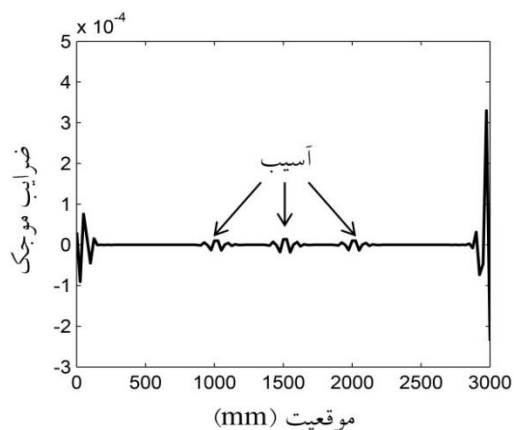
این موضوع برای سناریوهای خرابی سوم و چهارم با استفاده از دو تابع موجک 3 coif و 3.5 rbio برای شکل مودی اول در شکل‌های (۱۸) تا (۲۱) ارائه شده‌است.



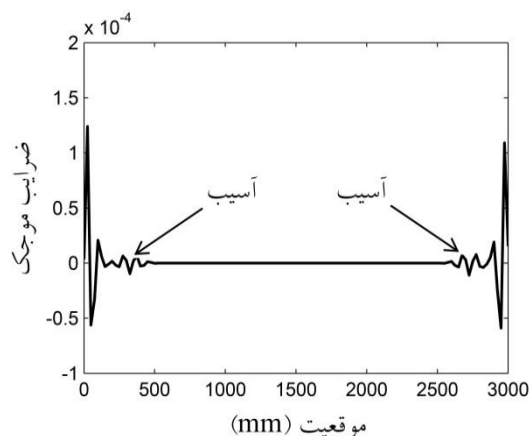
شکل ۱۸ تعیین محل آسیب تراز سناریوی خرابی سوم با تابع موجک 3 coif



شکل ۱۹ تعیین محل آسیب تراز سناریوی خرابی سوم با تابع موجک 3.5 rbio



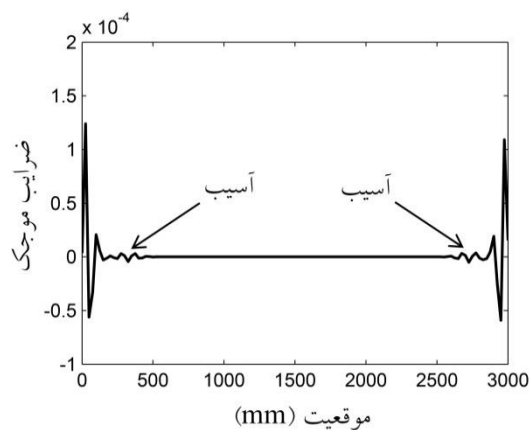
شکل ۲۵ تعیین محل آسیب تراز سناریوی خرابی هشتم با تابع موجک rbio3.5



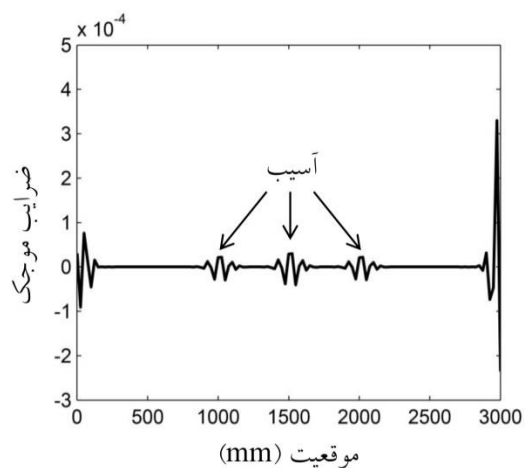
شکل ۲۲ تعیین محل آسیب تراز سناریوی خرابی پنجم با تابع موجک coif 3

همان‌طور که اشاره شد، در این پژوهش شناسایی آسیب در دیوار برشی فولادی با استفاده از الگوریتم موجک، به کمک سنسورهای تعبیه‌شده در سازه انجام گرفته‌است. بدین منظور الگوریتم موجک پاسخ هر تراز از سناریوهای خرابی را از سنسورها می‌گیرد و پس از پردازش سیگنال محل دقیق آسیب را نشان می‌دهد. به منظور صحت عملکرد سنسورها، اگر این عمل بر روی سایر نقاط نمونه‌برداری بررسی شود، مشاهده می‌گردد که اثر آسیب تنها در ترازهای نزدیک به خرابی قابل مشاهده است و با فاصله از تراز مذکور اثر خرابی از بین خواهد رفت. هم‌چنین می‌توان با افزایش تعداد سنسورها، خرابی را تنها در تراز مربوط به خودش شناسایی نمود. تشخیص خرابی در این مطالعه، با ۱۲۰ نقطه نمونه‌برداری در هر تراز از سنسورها انجام گرفته است.

به‌طور مثال برای سناریوی خرابی اول، خرابی المان مرکز ورق بر روی تراز بالاتر از خود نیز تأثیر اندکی گذاشته‌است که الگوریتم موجک قادر به شناسایی این تأثیر جزئی نیز شده‌است، ولی اثر آسیب بر روی دو تراز بالاتر از تراز سناریوی خرابی به‌طور کامل از بین رفته‌است. لازم به ذکر است، این موضوع برای ترازهای پایین‌تر نیز برقرار می‌باشد.

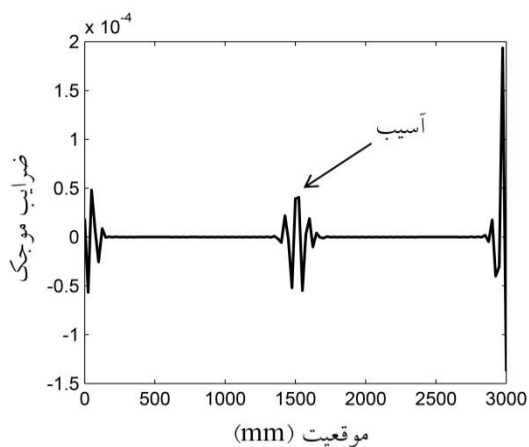


شکل ۲۳ تعیین محل آسیب تراز سناریوی خرابی ششم با تابع موجک coif 3

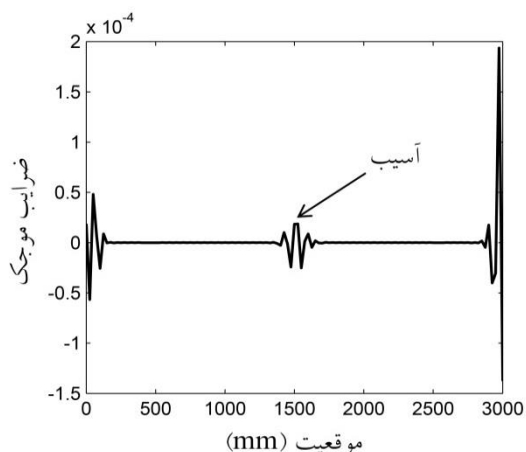


شکل ۲۴ تعیین محل آسیب تراز سناریوی خرابی هفتم با تابع موجک rbio3.5

شکل‌های (۲۸) و (۲۹) ارائه شده‌است.



شکل ۲۸ تشخیص خرابی سناریوی اول با rbio3.5



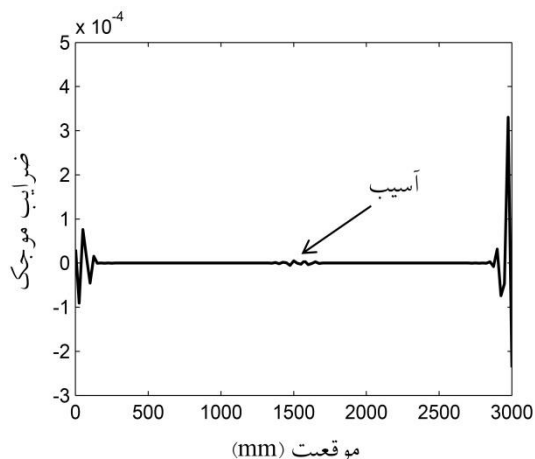
شکل ۲۹ تشخیص خرابی سناریوی دوم با rbio3.5

نتایج فوق نشان می‌دهند با استفاده از تبدیل موجک می‌توان آسیب را در هر موقعیت و شدتی برای شکل‌های مودی مختلف با دقت بالایی شناسایی نمود.

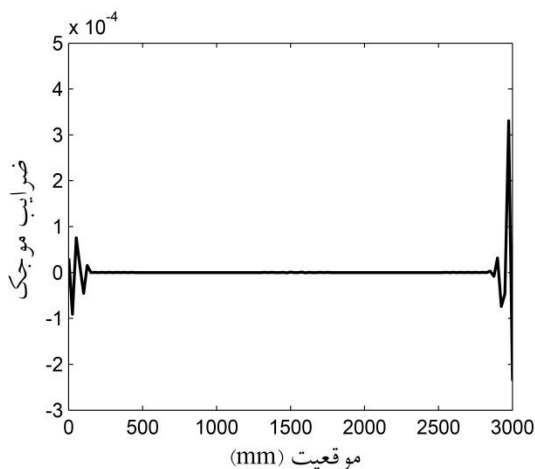
### نتیجه‌گیری

در این مطالعه شرح مختصری از الگوریتم موجک و کاربرد آن در پردازش سیگنال به منظور تشخیص خرابی یک نمونه دیوار برشی فولادی ارائه گردید. بدین منظور پس از تعریف هشت سناریوی خرابی، یک تحلیل مودال بر روی سازه انجام گرفت و سنسورهای

شکل‌های (۲۶) و (۲۷) دو تراز فوقانی سناریوی خرابی اول را نشان می‌دهند که خرابی تنها در تراز بالای سناریوی خرابی اثر اندکی گذاشته‌است.



شکل ۲۶ تعیین محل آسیب تراز فوقانی سناریوی خرابی اول با تابع موجک rbio3.5



شکل ۲۷ تعیین محل آسیب دو تراز بالاتر از سناریوی خرابی اول با تابع موجک rbio3.5

نتایج شناسایی آسیب برای شکل مودی اول سازه در تمامی سناریوهای خرابی تعریف شده با استفاده از الگوریتم موجک بررسی گردید. می‌توان برای شکل مودی دوم سازه نیز این موضوع را بررسی نمود. بدین منظور، شناسایی آسیب برای سناریوهای خرابی اول و دوم با استفاده از شکل مودی دوم سازه در

نیازمند انتخاب تابع موجک مناسب می باشد. بدین منظور بایستی تابع موجکی را انتخاب نمود که علاوه بر شباهت فرکانسی با سیگنال مورد نظر، محتوای فرکانسی بالایی نیز داشته باشد تا بتواند در صورت وجود اغتشاشات کوچک به وجود آمده در اثر آسیب در پاسخ های سازه، آنها را نیز به خوبی شناسایی نماید. هم چنین با در نظر گیری جنبه های اقتصادی طرح، می توان با افزایش تعداد سنسورها، سناریوی خرابی به وجود آمده را تنها در تراز مربوط به خودش شناسایی نمود.

تعبیه شده در دیوار، وظیفه داشتند پاسخ مودال سازه را در هر تراز ثبت و به عنوان سیگنال ورودی به تبدیل موجک وارد نمایند. این تبدیل نیز با تجزیه سیگنال ورودی در هر تراز متناظر با سناریوی خرابی، محل و موقعیت دقیق آسیب را با دقت بالایی شناسایی نمود. نتایج نشان داد می توان تشخیص خرابی را با استفاده از تبدیل موجک برای شکل های مودی مختلف نیز بررسی کرد. این موضوع برای خرابی های بسیار کوچک در سازه بررسی گردید که بیانگر دقت بالای تبدیل موجک در زمینه شناسایی آسیب در سازه ها می باشد. با این حال، شناسایی آسیب در سازه با استفاده از این الگوریتم

## مراجع

1. Bayissa, W., Haritos, N., and Thelandersson, S., "Vibration-based Structural Damage Identification Using Wavelet Transform", *Mechanical Systems and Signal Processing*, Vol. 22, pp. 1194-1215, (2008).
2. Rucka, M., "Damage Detection in Beams Using Wavelet Transform on Higher Vibration Modes," *Journal of Theoretical and Applied Mechanics*, Vol. 49, pp. 399-417, (2011).
3. Solís, M., Algaba, M., and Galvín, P., "Continuous wavelet analysis of mode shapes differences for damage detection", *Mechanical Systems and Signal Processing*, Vol. 40, pp. 645-666, (2013).
4. Amiri, G. G., Jalalinia, M., Hosseinzadeh, A. Z., and Nasrollahi, A., "Multiple Crack Identification in Euler Beams by Means of B-spline Wavelet", *Archive of Applied Mechanics*, Vol. 85, pp. 503-515, (2015).
5. Patel, S., Chourasia, A., Panigrahi, S., Parashar, J., Parvez, N., and Kumar, M., "Damage Identification of RC Structures Using Wavelet Transformation", *Procedia Engineering*, Vol. 144, pp. 336-342, (2016).
6. Mallat, S., *A wavelet tour of signal processing: the sparse way*: Academic press, (2008).
7. Misiti, M., Misiti, Y., Oppenheim, G., and Poggi, J. M., "Wavelet toolbox", The MathWorks Inc., Natick, MA, (1996).
8. Zirakian, T., and Zhang, J., "Structural Performance of Unstiffened Low Yield Point Steel Plate Shear Walls", *Journal of Constructional Steel Research*, Vol. 112, pp. 40-53, (2015).
9. Hibbitt, Karlsson, and Sorensen, *ABAQUS/standard user's Manual Vol. 1*: Hibbitt, Karlsson & Sorensen, (2001).
10. Chopra, A. K., "Dynamics of structures", Prentice Hall New Jersey, Vol. 3, (1995).